

تسريع رنگزدایی فرایند فتوکاتالیستی ثبت شده توسط اسکاونجر حفره EDTA

بیتا آیتی^۱

راضیه عسگری^۱

(دریافت ۹۲/۶/۲۱ پذیرش ۹۳/۵/۱۸)

چکیده

در این پژوهش اثر اسکاونجر حفره EDTA در تسريع رنگبری رنگزای آبی مستقیم ۷۱ به عنوان یک آلاینده سخت تجزیه‌پذیر در فرایند فتوکاتالیستی با استفاده از نانو ذرات دی‌اکسید تیتانیوم پوشش داده شده بر بستر سیمانی برسی شد. با استفاده از ۰/۰۳ مولار ۷۵ میلی‌گرم در لیتر رنگرا در pH ۶، تحت تابش لامپ UV-C ۶۰ وات طی مدت زمان ۷۵ دقیقه رنگبری شد. این درحالی است که رنگرا تحت این شرایط و بدون حضور اسکاونجر در مدت زمان ۲۲۵ دقیقه حذف شد، به این ترتیب اثر تسريع کنندگی این اسکاونجر تأیید شد. سینتیک فرایند فتوکاتالیستی در حضور EDTA مرتبه اول با ثابت واکنش ۰/۰۵ بر دقیقه بدست آمد که ۲/۵ برابر سرعت واکنش بدون اسکاونجر بود.

واژه‌های کلیدی: سینتیک، غلظت، pH، شدت تابش، آبی مستقیم ۷۱

Using the EDTA Hole Scavenger to Accelerate Decolorization in the Immobilized Photocatalytic Process

R. Asgari¹

B. Ayati²

(Received Sep. 12, 2013)

Accepted Aug. 9, 2014)

Abstract

This study investigated the effect of EDTA as a hole scavenger on accelerating the photocatalytic decolorization of direct blue 71 as a non-degradable model pollutant with nano TiO₂ powder immobilized on a cementitious bed. For this purpose, 75 mg/L of the dye was decolorized in 75 minutes with 0.03 M of EDTA at a pH level of 6 and under irradiation produced by a 60-W UV-C lamp. This is while decolorization under identical conditions but in the absence of EDTA had been accomplished in 225 minutes. The experiment, therefore, confirmed the accelerating effect of the scavenger on decolorization. The kinetics of the photocatalytic process with EDTA followed a first order reaction with a constant rate of 0.05 min⁻¹, which is 2.5 times faster than the process without EDTA.

Keywords: Kinetics, Concentration, pH, Irradiation intensity, Direct Blue 71.

1. MSc Student of Civil and Environmental Engineering, Tarbiat Modares University, Tehran

۱- دانشجوی کارشناسی ارشد عمران و محیط زیست، دانشگاه تربیت مدرس، تهران

2. Assoc. Prof. of Civil and Environmental Engineering, Tarbiat Modares University, Tehran (Corresponding Author) (+98 21) 82883328, ayati.bi@modares.ac.ir

۲- دانشیار، دانشکده مهندسی عمران و محیط زیست، دانشگاه تربیت مدرس، تهران
(نویسنده مسئول) (۰۲۱) ۸۲۸۸۳۳۲۸ ayati.bi@modares.ac.ir

۱- مقدمه

EDTA^۱ به عنوان یک لیگاند شش دندانه‌ای کمپلکس‌ساز و عامل کیلیت کننده^۲ مطرح است که در فرایند فتوکاتالیستی نقش الکترون دهنده، اسکاونجر حفره را ایفا می‌کند [۱۷، ۱۸ و ۱۹]. این ماده در محیط دارای بار منفی است و با تشکیل کمپلکس با انواع کاتیون‌های فلزی و قلیایی مانند Al، Ca، Fe و Mn اثر آنها را کاهش می‌دهد؛ ولی هزینه زیاد از عیوب‌های آن محسوب می‌شود [۲۰ و ۲۱].

در پژوهشی لی و همکاران در سال ۲۰۰۲، تبدیل فتوکاتالیستی روآمین B (Rh B) را در حضور دهنگان الکترونی شامل اسید اگزالیک، اتانول و EDTA بررسی نموده و اثرات آنها را بر تغییرات تدریجی فتوکاتالیستی حجم هیدروژن تولیدی بر روی Pt/TiO₂ در حین تجزیه رنگزا مشاهده کردند. در نتیجه افزودن رادیکال اتانول، نرخ تولید هیدروژن ناشی از تجزیه رنگزا به صورت محسوسی کاهش یافت [۱۹]. همچنین چن و همکاران برای مقایسه اثر ترکیبات فعال مؤثر در تجزیه نوری اسید اورانژ^۳ از آن به عنوان اسکاونجر حفره استفاده نمودند که تجزیه اولیه را محدود نمود و این بیانگر نقش اساسی حفره‌ها در واکنش است [۲۲]. سه رابطه و قوامی نیز حذف رنگزای مستقیم قرمز^۴ را با سیستم UV/TiO₂ بررسی کردند. در این پژوهش pH بهینه برابر ۲ و غلظت بهینه دی‌اسید تیتانیوم به عنوان کاتالیزور برابر ۴ گرم در لیتر بدست آمد. همچنین افزودن سه درصد اتانول، باعث کاهش نرخ تفکیک به دلیل اثر اسکاونجر کردن حفره لایه ظرفیت شد [۲۳].

هدف از این پژوهش، استفاده از اثر اسکاونجر حفره EDTA به منظور تسريع حذف رنگزای آبی مستقیم ۷۱ با فرایند فتوکاتالیستی نانو ذرات TiO₂ بود؛ زیرا پژوهش‌های زیادی در رابطه با نقش زمان در ارزیابی اقتصادی فرایندها و کاربرد EDTA در این زمینه انجام شده است. همچنین به منظور حل مشکل عدمه استفاده از نانو ذرات پودری در مقیاس صنعتی که شامل تصفیه، احیا و بازیابی آن برای استفاده مجدد است، از بسترهایی استفاده شد که دوغاب غیر اگلومر و دیسپرس شده نانو ذرات TiO₂ بر روی آنها تثبیت شده بود. این بسترها از جنس سیمان و به صورت تکیه‌گاهی بدون ایجاد اثر مزاحمتی برای عملکرد نانو ذرات بودند.

۲- مواد و روش‌ها

۲-۱- روش کار

۲-۱-۱- تهیه پایلوت و تثبیت نانو ذرات TiO₂ برای ساخت پایلوت مراحل زیر صورت گرفت [۲۴ و ۲۵]:

² Ethylenediaminetetraacetic Acid Tetrasodium Salt
(C₁₀H₁₂N₂Na₄O₈.2H₂O)

³ Chelating Agent

⁴ Acid Orange 7

⁵ Direct Red 23

رنگزاهای آزویی از ترکیبات آروماتیک و سخت تجزیه پذیر هستند که اثرات نامطلوبی از جمله سرطان‌زاوی، جهش‌زاوی و حساسیت‌زاوی دارند و به عنوان آلاینده‌های مقدم آب محسوب می‌شوند. رنگزای آبی مستقیم^۶ نیز از نوع آزویی دارای هشت حلقه بنزنی و سه پیوند N=N است که امکان حضور آن در فاضلاب صنایع نساجی و رنگرزی وجود داشته و در صورتی که به آب‌های سطحی و زیرزمینی وارد شود، باعث افزایش مصرف اکسیژن محلول، مسمومیت آبیان و نیز کاهش نفوذ نور به اعمق آب می‌شود [۱ و ۲]. بنابراین برای تصفیه فاضلاب محتوی این آلاینده‌ها باید از روش‌های پیشرفت‌هی تصفیه‌ای استفاده شود که کم‌هزینه بوده و راندمان قابل قبولی داشته باشد.

در سال‌های گذشته، پژوهش‌های مختلفی درباره فرایند فتوکاتالیستی با استفاده از اکسیدهای نیمه‌رسانا، شامل ذرات نانویی TiO₂ صورت گرفته است. فرایند فتوکاتالیستی با استفاده از نانو ذرات TiO₂ یک روش اکسیداسیون پیشرفت‌هی با هدف تولید رادیکال‌های فعال است که به دلیل سازگار بودن این نانو ذرات با محیط زیست و فاصله لایه‌ای مناسب آنها برای تهییج شدن با طول موج مناسب نور تابیده شده و همچنین عدم سُمّیت، به عنوان یک روش کارآمد برای تصفیه فاضلاب‌های حاوی رنگزا شناخته شده است [۳]. اما نیاز به زمان طولانی تابش برای شکستن پیوندهای سخت تجزیه پذیر و ضرورت احیا و بازیابی نانو ذرات با هزینه بالا و عملیات پیچیده از عیوب‌های کار به شمار می‌رود [۴]. برای رفع این مشکلات، استفاده از روش‌های تسريع‌کننده حذف، مانند کاربرد اسکاونجرها و تثبیت نانو ذرات بر سطوح سیمانی به عنوان تکیه‌گاه خنثی پیشنهاد شده است [۵].

اسکاونجرها ترکیباتی هستند که در صورت انتخاب صحیح با توجه به شرایط آزمایش و نوع ساختار آلاینده هدف، می‌توانند با ایقای چند نقش متفاوت، عامل تسريع فرایند فتوکاتالیستی شوند. اولاً این ترکیبات با به تعویق اندختن ترکیب مجدد الکترون- حفره تشکیلی در سطح نانو ذرات، زمان کافی برای شروع واکنش‌های زنجیره‌ای فتوکاتالیستی را فراهم می‌کنند. دوم اینکه با اسکاونجر کردن الکترون، حفره و یا رادیکال‌ها و حذف اثرات تداخلی ترکیبات فعال در محیط و افزایش نقش عامل مؤثر اصلی در تجزیه آلاینده، باعث بالا رفتن راندمان حذف می‌شوند و در نهایت با دخالت مستقیم در ساختار آلاینده به عنوان اکسنده و یا کاهنده باعث تجزیه پیوندهای آلاینده هدف شده و به این ترتیب راندمان حذف را افزایش و زمان تجزیه را کاهش می‌دهند [۱۶-۱۷].

¹ Direct Blue 71

$$EC=W \times t \quad (3)$$

$$EC/C=EC/(C_0-C) \quad (4)$$

که در این روابط

R میزان حذف رنگزا بر حسب درصد، C_0 و C به ترتیب غلظت اولیه و ثانویه رنگزا بر حسب میلی گرم در لیتر، W شدت تابش لامپ‌ها بر حسب وات، t زمان ماند فاضلاب در راکتور تا رنگبری کامل بر حسب دقیقه، EC میزان مصرف انرژی و EC/C میزان مصرف انرژی به ازای هر میلی گرم در لیتر رنگزا حذف شده است [۲۶]. ($W \cdot \text{min} \cdot \text{L}^{-1}/\text{mg}$)

۳-۱-۲- انجام آزمایش‌های اصلی

آزمایش‌های اصلی با توجه به تأثیر پارامترهای مختلف شامل غلظت اسکاونجر، pH، غلظت رنگزا و شدت تابش لامپ UV-C در راندمان حذف فرایند فتوکاتالیستی صورت گرفت و مقدار بهینه هر یک با ثابت نگه داشتن سایر پارامترها تعیین شد. به این صورت که ۲۵۰ سی سی فاضلاب سنتزی حاوی غلظت مورد نظر رنگزا و اسکاونجر تهیه شد و بر روی بسترهای سیمانی پوشش داده شده با نانو ذرات دی‌اکسید تیتانیوم تحت تابش مناسب قرار گرفت. در حین آزمایش ۵ سی سی نمونه در بازه‌های زمانی ۱۵ دقیقه‌ای برداشت و مقدار جذب آنها قرائت و غلظت رنگزا باقیمانده محاسبه شد. هر آزمایش حداقل سه بار تکرار و از مقادیر میانگین سه آزمایش استفاده شد. به این ترتیب با رسم منحنی تغییرات C/C_0 در مقابل زمان و محاسبه میزان مصرف انرژی و راندمان حذف در حداقل زمان رنگبری، مقدار بهینه پارامتر هدف انتخاب شد.

۴-۱-۲- انجام آزمایش‌های شاهد

آزمایش‌های شاهد به منظور بررسی کردن نقش مجزا و ترکیبی عوامل مؤثر تحت شرایط بهینه حاصل از آزمایش‌های اصلی سیستم $\text{TiO}_2/\text{EDTA}/\text{UV-C}/\text{Dye}$ انجام شد. برای انجام TiO_2/Dye , EDTA/Dye , $\text{UV-C}/\text{Dye}$, $\text{EDTA}/\text{UV-C}/\text{Dye}$, $\text{TiO}_2/\text{EDTA}/\text{Dye}$ و $\text{EDTA}/\text{UV-C}/\text{Dye}$ استفاده شد.

۴-۱-۳- انجام آزمایش‌های تکمیلی

برای بررسی بهتر روند رنگزدایی، آزمایش‌های تکمیلی شامل تغییرات منحنی جذب و سینتیک واکنش بررسی شدند. با قرائت جذب نمونه‌های برداشت شده در زمان‌های مختلف، منحنی جذب در طیف موجی ۹۰۰ تا ۲۰۰ نانومتر رسم و تغییرات پیک‌های موجود بررسی شد. سینتیک واکنش نیز با بررسی تغییرات dC/dt

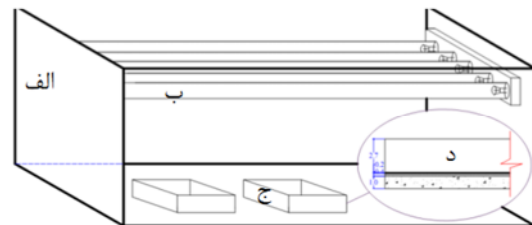
- تهیه بسترهای سیمانی به ضخامت ۲ سانتی‌متر با استفاده از سیمان و آب با نسبت ۲ به ۱ در یک ظرف پایلوت از جنس پلاستیک به ابعاد $۲۳ \times ۱۵ \times ۴$ سانتی‌متر؛

- اصلاح سطوح بستر سیمانی و پوشاندن آن با لایه‌ای از چسب بتن به ضخامت $۰/۲$ تا $۰/۵$ میلی‌متر؛

- ریختن دوغاب تهیه شده از $۱/۴۴$ گرم پودر دی‌اکسید تیتانیوم حل شده در ۵۰ سی سی آب دو بار تقطیر، پس از ۳۰ دقیقه مخلوط شدن در دستگاه حمام اولتراسونیک، برای دیسپرس کردن ذرات اکلومر داده بر روی لایه چسب؛

- خشک شدن همزمان نانو ذرات بر روی سیمان به مقدار ۴۰ گرم بر مترمربع و چسب.

در شکل ۱ نمای راکتور آزمایشگاهی ارائه شده است. در طول آزمایش‌ها، پایلوت با ورق‌های آلومینیومی ضخیم برای جلوگیری از تشعشع اشعه UV-C به محیط آزمایشگاه و بازتابش آن پوشانده شد.



شکل ۱- نمای پایلوت آزمایشگاهی

(الف- محفظه C، ب- لامپ UV-C ۳۰ وات، ج- راکتور حاوی بستر سیمانی پوشش داده شده با نانو ذرات TiO_2 و د- بشتر سیمانی)

۴-۱-۴- تعیین طیف جذبی

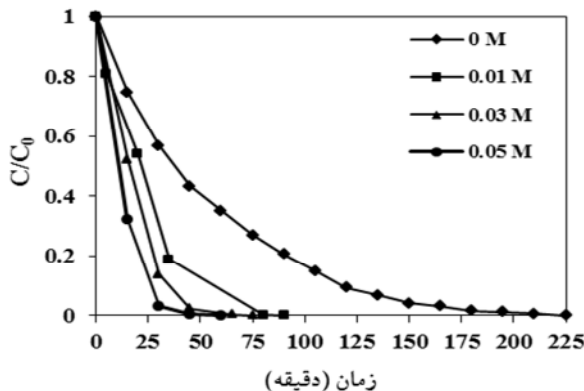
برای تعیین حداقل طول موج جذب رنگزا، ابتدا طیف جذبی محلولی به غلظت ۲۰ میلی گرم در لیتر در محدوده ۲۰۰ تا ۹۰۰ نانومتر رسم شد و حداقل جذب در طول موج ۵۸۶ نانومتر بدست آمد که نماینده پیوندهای آزویی عامل رنگ در رنگزا است. منحنی کالیبراسیون رنگزا نیز در این طول موج برای غلظت‌های مختلف آن رسم و رابطه کالیبراسیون رنگزا با مقدار R^2 برابر $۰/۹۹$ مطابق رابطه ۱ بدست آمد

$$\text{Abs}=0.0241 * [\text{Dye}] \quad (1)$$

که در این رابطه غلظت رنگزا بر حسب میلی گرم در لیتر و جذب عددی بی بعد است. همچنین با توجه به اهمیت محاسبه درصد حذف رنگزا و میزان مصرف انرژی در هر آزمایش از روابط ۲ تا ۴ استفاده شد

$$R = \frac{C - C_0}{C_0} \times 100 \quad (2)$$

برای جذب شدن به سطح نانو ذرات TiO_2 پیروز شده و با اسکاونج کردن حفره، باعث تشکیل رادیکال‌های سوپراکسید می‌شود. همچنین امکان احیا شدن رنگزا توسط e_{CB}^- به وجود می‌آید. بنابراین راندمان حذف رنگزا افزایش می‌یابد. با توجه به میزان مصرف انرژی غلظت‌های 0.03 M و 0.05 M مولار در زمان 60 دقیقه که دارای کمترین مقدار برابر $W \cdot hr \cdot L / mg$ بودند، 0.03 M مولار به عنوان غلظت بهینه انتخاب شد.



شکل ۲- بررسی اثر غلظت EDTA
(غلظت رنگ برابر 50 میلی‌گرم در لیتر، pH برابر $7/4$ ، p_{UV-C} برابر 90 وات و TiO_2 برابر 40 گرم در مترمکعب)

۳- تعیین pH بهینه

به طور کلی با توجه به اثر pH محلول، در نحوه رخداد واکنش‌های فتوکاتالیستی در سطح نانو ذرات و نیز متغیر بودن آن در فاضلاب‌های رنگی، بررسی این پارامتر در نحوه حذف رنگزا ضروری است؛ زیرا pH بر روی بار سطحی نانو ذرات TiO_2 ، نحوه جذب رنگزا به سطح آن، نحوه عملکرد اسکاونجر و تولید رادیکال هیدروکسیل و سرعت حذف رنگزا از محیط تأثیرگذار است [۴ و ۲۸]. به گونه‌ای که رنگراها اسیدی در pHهای قلیایی، رنگراها قیایی در pHهای اسیدی و رنگراها می‌باشند در pH خنثی حذف می‌شوند. به صورت کلی سه مکانیسم محتمل برای تجزیه آلا نینه آلی شامل حمله رادیکال هیدروکسیل، اکسیداسیون pHهه مثبت و احیا توسط الکترون لایه انتقال نیز به ماهیت و pH محیط بستگی دارد. به گونه‌ای که در pH اسیدی، مکانیسم اکسیداسیون رنگزا با h_{VB}^+ و در pHهای خنثی و قلیایی مکانیسم تجزیه، توسط رادیکال هیدروکسیل غالب است. هر چند اثر pH بر روی مکانیسم پایه اکسیداسیون فتوکاتالیستی در سیستم TiO_2/UV یک موضوع به نسبت پیچیده است [۲۹].

چنانچه در شکل ۳ مشاهده می‌شود، افزایش pH از حالت اسیدی به قلیایی در حضور اسکاونجر EDTA باعث تسريع واکنش

انجام و مرتبه (n) و ثابت واکنش (k) محاسبه شد و به این ترتیب سرعت انجام فرایند رنگبری در سیستم با اسکاونجر و بدون اسکاونجر مطالعه شد. کلیه آزمایش‌ها بر اساس کتاب روش‌های استاندارد آزمایش‌های آب و فاضلاب و با حداقل سه بار تکرار انجام شدند [۲۷].

۲-۲- مواد

مواد عمده مورد استفاده، شامل رنگزا آبی مستقیم (DB 71) ۷۱ تهیه شده از شرکت الوان ثابت همدان، پودر نانو ذرات دی‌اکسید تیتانیوم P25 حاوی آناتاز به روتایل با نسبت $80/20$ به قطر تقریبی 21 نانومتر محصول شرکت دگوسا^۱ آلمان، EDTA با خلوص $99/8$ تا $100/5$ درصد محصول شرکت مرک^۲ آلمان به عنوان اسکاونجر حفره، سود $1/0$ نرمال و اسید سولفوریک محصول شرکت مرک آلمان برای تنظیم pH، سیمان پرتلند و آب برای تهیه سیمان، چسب اپوکسی بتن سوپر تهیه شده از شرکت شیمی بتن بهینه، روغن قالب و آب دو بار تقطیر بودند.

۲-۳- تجهیزات و وسائل

از اسپکتروفوتومتر هج^۳ برای تعیین جذب نمونه‌های رنگزا، اولتراسونیک کلینر فانگلیب^۴ برای دیسپرس کردن نانو ذرات pH، اکلومره شده، pH متر دیجیتالی مترونهم^۵ برای اندازه‌گیری pH، ترازوی دیجیتالی مدل PLS360-3-Kern برای توزین مواد، راکتور ساخت شرکت هچ مدل DRB200 با 16 جالوله‌ای برای اندازه‌گیری اکسیژن مورد نیاز شیمیایی فاضلاب، لامپ جیوه‌ای کم فشار 20 وات با نام تجاری لومیاکشن^۶ ساخت تایوان به عنوان منبع UV-C برای تهییج نانو ذرات فتوکاتالیستی استفاده شد.

۳- نتایج و بحث

۱-۳- تعیین غلظت بهینه EDTA

نتایج به دست آمده از اثر غلظت‌های مختلف EDTA در شکل ۲ نشان داده شده است. همان‌طور که ملاحظه می‌شود $0/0.5$ مولار EDTA زمان حذف رنگزا را از 255 دقیقه به 60 دقیقه و $0/0.3$ مولار آن را به 75 دقیقه کاهش داده است. زیرا احتمالاً در محیط آبی با از دست دادن یک تا چهار یون H^+ ساختار خود، دارایی بار منفی شده و با اسیدی کردن محیط باعث مثبت شدن بار سطحی نانو ذرات TiO_2 می‌شود که در رقابت با رنگزا آنیونی

¹ Degussa

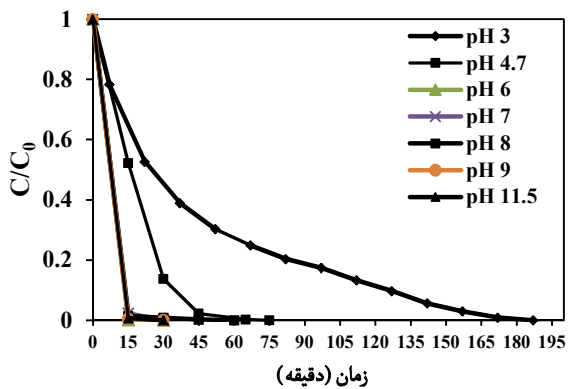
² Merck

³ Hach/DR4000

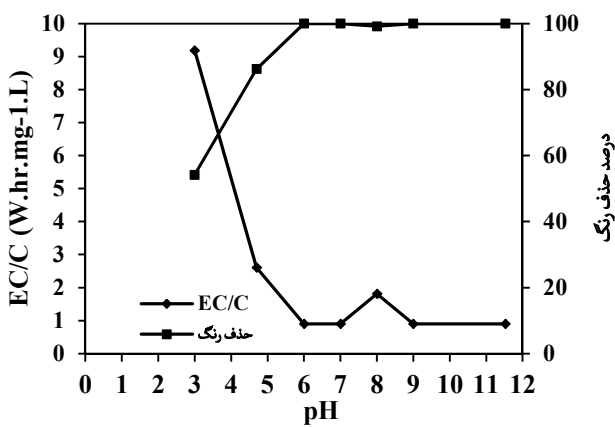
⁴ Fungilab/UE-6SFD

⁵ Metrohm/691

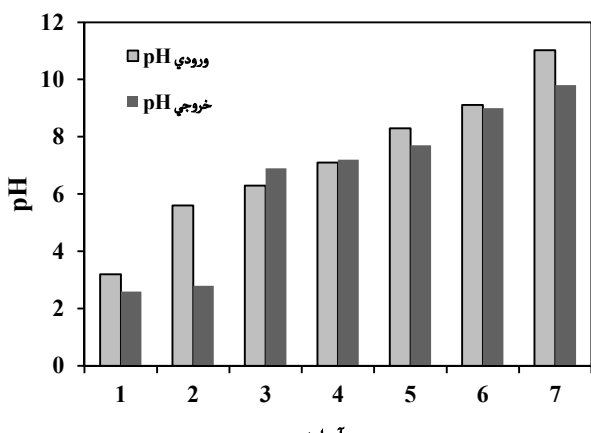
⁶ Lumiaction



شکل ۳- بررسی اثر pH (غلظت رنگ برابر ۵۰ میلی گرم در لیتر،
EDTA برابر 10^{-3} مولار، P_{UV-C} برابر ۹۰ وات و TiO_2
برابر ۴۰ گرم بر مترمکعب)



شکل ۴- میزان مصرف انرژی در pH های مختلف و راندمان حذف
در ۳۰ دقیقه ابتدای واکنش (غلظت رنگ برابر ۵۰ میلی گرم در لیتر،
EDTA برابر 10^{-3} مولار، P_{UV-C} برابر ۹۰ وات و TiO_2
برابر ۴۰ گرم بر مترمکعب)



شکل ۵- تغییرات pH قبل و بعد از واکنش
(غلظت رنگ برابر ۵۰ میلی گرم در لیتر، EDTA برابر 10^{-3} مولار،
 TiO_2 برابر ۹۰ وات و P_{UV-C} برابر ۴۰ گرم بر مترمکعب)

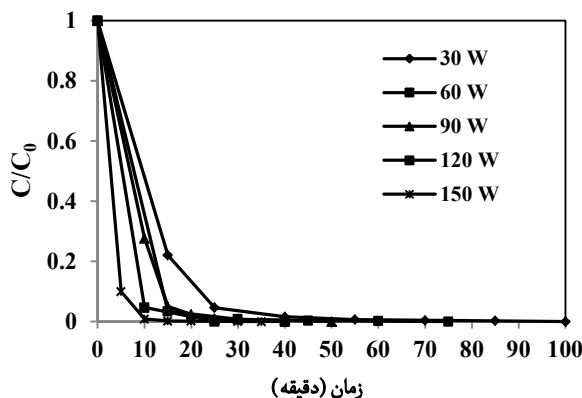
و کاهش زمان حذف کامل رنگزا از ۱۸۷ دقیقه در pH برابر ۳ به ۳۰ دقیقه در pH های ۶ و ۱۱/۵ شد. البته همان گونه که ملاحظه می شود، عملکرد EDTA در pH طبیعی ۴/۷ نسبت به ۳ بهتر بود و این موضوع به احتمال زیاد به دلیل اشباع شدن محیط با H^+ در نتیجه ناتوانی EDTA برای از دست دادن بیشتر H^+ در pH برابر ۳ است. به این ترتیب EDTA قدرت کمتری برای جذب شدن بر سطح نانو ذرات TiO_2 و اسکاونج کردن حفره های مثبت سطحی داشته و سرعت ترکیب مجدد الکترون - حفره بالا رفته و راندمان حذف رنگزا کمتر شده است. همچنین در pH قلیایی نه تنها اثربخشی رادیکال هیدروکسیل برای تجزیه رنگزا غالباً است بلکه به دلیل استفاده از سود برای قلیایی کردن محیط و جایگزینی Na^+ در ساختار EDTA به جای H^+ ، OH^- بیشتری آزاد می شود که این موضوع به تولید رادیکال هیدروکسیل بیشتر نیز کمک می کند. بنابراین افزایش راندمان رنگبری در این pH مشهود است که نتایج به دست آمده با پژوهش های گذشته نیز مطابقت داشته و حفره و رادیکال، بسته به pH محلول در رنگبری مؤثر هستند [۲۹]. از طرفی برای انتخاب مقدار pH بهینه، توجه به میزان راندمان حذف رنگزا، مصرف انرژی، مقدار ماده مصرفی برای تنظیم pH، مقدار pH پساب تصفیه شده برای تخلیه به محیط زیست و pH طبیعی رنگزا به تهایی ضروری است که حدوداً خشی بوده و در pH های اسیدی در مدت زمان طولانی دچار انعقاد می شود. از این رو با توجه به شکل های ۴ و ۵ pH برابر ۶ به عنوان مقدار بهینه انتخاب شد.

۳- تعیین غلظت بهینه رنگزا

نتایج حاصل از بررسی اثر غلظت رنگزا و میزان مصرف انرژی در شکل های ۶ و ۷ نشان داده شده است. همان گونه که مشاهده می شود با افزایش غلظت رنگزا از ۵۰ میلی گرم در لیتر به ۲۰۰ میلی گرم در لیتر و افزایش پراکندگی و جذب فوتون های نوری تایید شده در محیط، سرعت و زمان رنگبری کاهش می یابد. زیرا اولاً سطوح فعال نانو ذرات با رنگزا پوشیده شده و رادیکال هیدروکسیل کمتری تولید می شود و ثانیاً تابش UV-C توسط مولکول های رنگزا غربال می شود که فعال شدن سطح نانو ذرات را کاهش می دهد. به گونه ای که در غلظت های بالا، بیشتر تابش UV-C به جای سطوح نانو ذرات توسط مولکول های رنگزا جذب شده و نفوذ نور به سطوح دورتر از منبع کاهش می یابد. بنابراین افزایش غلظت باعث کاهش راندمان حذف می شود [۳۰].

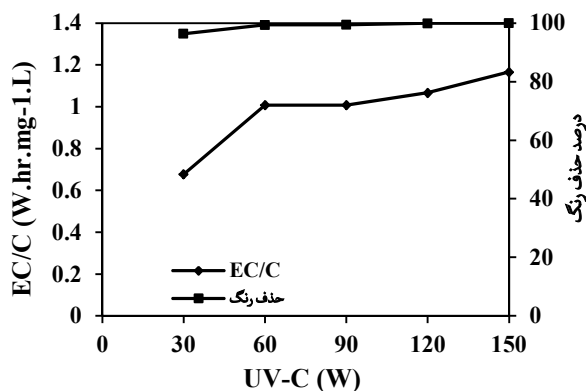
همچنین با توجه به غالب بودن اثر رادیکال هیدروکسیل نسبت به اثر حفره در pH برابر ۶، نرخ تجزیه رنگزا در این pH به دو

صرف انرژی در شکل های ۸ و ۹، دو تابش ۶۰ و ۹۰ وات دارای راندمان ۹۹/۴ درصد در مدت زمان ۷۵ و ۵۰ دقیقه بودند که با توجه به میزان صرف انرژی و اثر سوء محیط‌زیستی کمتر آن، مقدار ۶۰ وات به عنوان تابش بهینه انتخاب شد.



شکل ۸- بررسی اثر شدت‌های مختلف تابش C

(غلهٔ رنگ برابر ۷۵ میلی‌گرم در لیتر، EDTA برابر 0.03 مولار ، pH برابر 6 ، TiO_2 برابر 40 گرم بر مترمکعب)

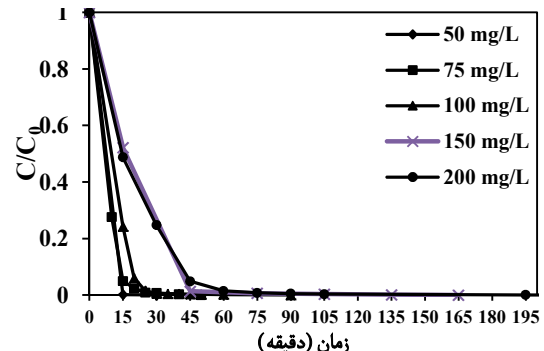


شکل ۹- میزان صرف انرژی و راندمان حذف در ۳۵ دقیقه ابتدای

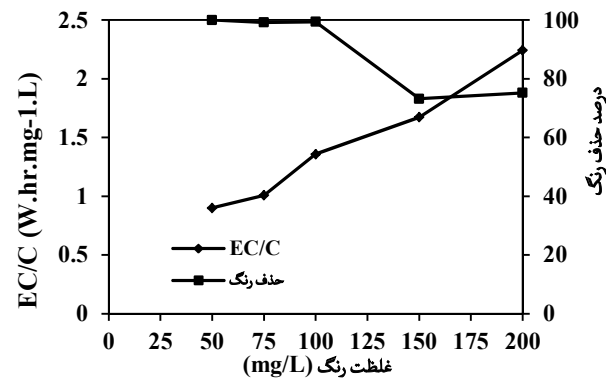
واکنش (غلهٔ رنگ برابر ۷۵ میلی‌گرم در لیتر، EDTA برابر 0.03 مولار ، pH برابر 6 ، TiO_2 برابر 40 گرم بر مترمکعب)

۳- نتایج آزمایش‌های شاهد در شرایط بهینه خلاصه درصد اثربخشی سیستم‌های مختلف در شرایط بهینه، شامل غلهٔ اسکاونجر 0.03 مولار ، pH برابر 6 ، غلهٔ رنگ 75 میلی‌گرم در لیتر، شدت تابش لامپ UV-C 90 وات و زمان 75 دقیقه در جدول ۱ و شکل ۱۰ ارائه شده است.

با توجه به جدول ۱، در 75 دقیقه در تاریکی $3/18$ درصد و در حضور تابش UV-C $79/81$ درصد مؤثر است. این در حالی است که رنگ‌ها بدون حضور EDTA در تاریکی به اندازه $2/7$ درصد جذب نانو ذرات TiO_2 شده و در حضور تابش UV-C به میزان $64/2$ درصد در شرایط مشابه به صورت فتوکاتالیستی



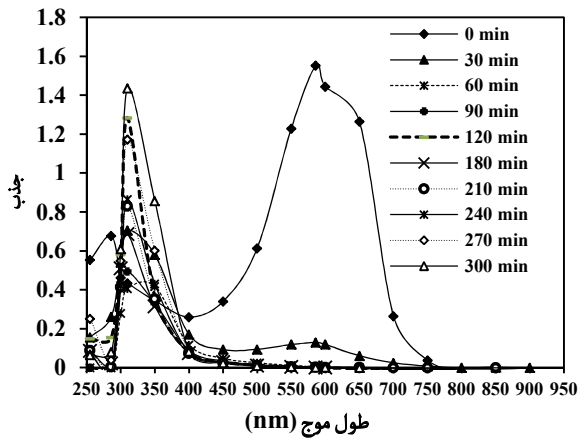
شکل ۶- بررسی اثر غلهٔ اولیه EDTA برابر 0.03 مولار ، pH برابر 6 ، TiO_2 برابر 40 گرم بر مترمکعب)



شکل ۷- میزان صرف انرژی و راندمان حذف در ۳۰ دقیقه ابتدای واکنش EDTA برابر 0.03 مولار ، pH برابر 6 ، TiO_2 برابر 40 گرم بر مترمکعب)

پارامتر وابسته است. اول میزان تولید این رادیکال در سطح نانوذرات و دوم احتمال دسترسی مولکول‌های رنگ‌زا به رادیکال‌ها برای واکنش دادن با آنها. با افزایش غلهٔ اولیه رنگ‌زا از یک نظر احتمال واکنش بین مولکول‌های رنگ‌زا و رادیکال‌ها افزایش می‌یابد، به‌گونه‌ای که باید منجر به افزایش نرخ رنگبری شود، اما از نظر دیگر به‌دلیل کاهش میزان تولید رادیکال در اثر پوشیده شدن سطح نانو ذرات TiO_2 با مولکول‌های رنگ‌زا، راندمان تجزیه با افزایش غلهٔ رنگ‌زا کاهش می‌یابد و رنگبری نیازمند صرف زمان و انرژی بیشتری خواهد بود. بنابراین با توجه به میزان صرف انرژی و راندمان حذف، سه غلهٔ 50 ، 75 و 100 میلی‌گرم در لیتر دارای بیشترین راندمان حذف به ترتیب برابر $99/2$ ، 100 و $99/4$ در مدت زمان‌های 30 ، 50 و 90 دقیقه بودند که از میان آنها غلهٔ 75 میلی‌گرم در لیتر به عنوان مقدار بهینه انتخاب شد.

۴- تعیین شدت تابش بهینه با بررسی نتایج به‌دست آمده از اثر شدت تابش‌های مختلف و میزان



شکل ۱۱- منحنی جذب در حذف رنگزا تحت شرایط بهینه

۷-۳- سینتیک حذف رنگزا در شرایط بهینه
نتایج سینتیک حذف رنگزا در سیستم‌های $\text{TiO}_2/\text{UV-C}/\text{Dye}$ و $\text{TiO}_2/\text{EDTA}/\text{UV-C}/\text{Dye}$ در جدول ۲ ارائه شده است. با توجه به جدول، EDTA سرعت راندمان حذف رنگزا را به میزان $2/5$ برابر نسبت به سیستم بدون EDTA افزایش می‌دهد که این موضوع نقش مؤثر این ماده را در ایجاد زمان بیشتر برای عملکرد e_{CB} با اسکاونج کردن حفره‌های سطح نانو ذرات TiO_2 نشان می‌دهد.

جدول ۲- نتایج سینتیک حذف رنگزا در شرایط بهینه

سیستم	متغیر	ثابت سرعت (دقیقه)	R^2
$\text{TiO}_2/\text{UV-C}/\text{Dye}$	واکنش	۰/۰۲	۰/۹۹
$\text{TiO}_2/\text{EDTA}/\text{UV-C}/\text{Dye}$	واکنش	۰/۰۵	۰/۹۹

۴- نتیجه‌گیری

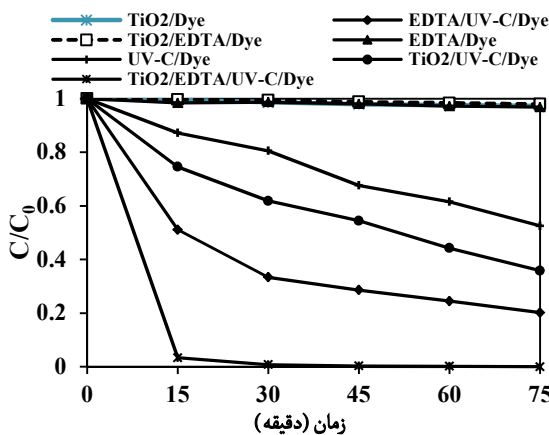
در این پژوهش در pH بهینه ۶، میزان ۷۵ میلی‌گرم در لیتر رنگزا در حالت بدون EDTA پس از ۲۵۵ دقیقه حذف شد. در حالی که کاربرد $0/03$ مولار EDTA، سرعت حذف را به میزان $2/5$ برابر افزایش داد. بنابراین استفاده از EDTA به عنوان اسکاونج حفره در تسریع حذف فتوکاتالیستی رنگزا، صرف‌جویی در وقت و هزینه‌های مربوطه قابل توصیه است.

۵- قدردانی

نویسنگان این مقاله از ستاد ویژه توسعه فناوری نانو به دلیل حمایت مالی تشکر و قدردانی می‌کنند.

جدول ۱- نتایج آزمایش‌های شاهد در شرایط بهینه حذف رنگزا در زمان ۷۵ دقیقه

سیستم	درصد اثربخشی
$\text{UV-C}/\text{Dye}$	۴۷/۴
EDTA/Dye	۳/۲
TiO_2/Dye	۲/۷
$\text{TiO}_2/\text{UV-C}/\text{Dye}$	۶۴/۲
$\text{TiO}_2/\text{EDTA}/\text{Dye}$	۲
$\text{EDTA}/\text{UV-C}/\text{Dye}$	۷۹/۸



شکل ۱۰- نتایج آزمایش‌های شاهد در شرایط بهینه حذف رنگزا

حدف شد، که این موضوع نشان‌دهنده عملکرد مناسب EDTA به عنوان اسکاونجر حفره و بهبود راندمان حذف رنگزا در سیستم فتوکاتالیستی است.

۶-۳- بررسی تغییرات منحنی جذب در شرایط بهینه
منحنی جذب سیستم $\text{TiO}_2/\text{EDTA}/\text{UV-C}/\text{Dye}$ در زمان‌های مختلف تحت شرایط بهینه در شکل ۱۱ ارائه شده است. با توجه به نمودار، دو پیک در ۵۸۶ و ۳۱۰ نانومتر در ناحیه مرئی مربوط به پیوند آزویی رنگزا و نانومتر مرتبط با حلقه‌های بنزنی و نفتالینی در ناحیه UV مشاهده می‌شوند. بعد از مدت زمان تابش حدود ۷۵ دقیقه، پیک مربوط به پیوند آزویی به صورت کامل از بین رفت که این موضوع مطابق با رنگبری رنگزا از محیط است؛ اما در طول موج ۳۱۰ نانومتر از مدت زمان ۱۳۵ تا ۱۶۵ دقیقه، پیک رشد کرده و سپس تا مدت زمان ۳۰۰ دقیقه کاهش یافت که این موضوع به آزاد شدن حلقه‌های بنزنی در این مدت و سپس تجزیه آنها با تابش بیشتر تا مدت زمان ۳۰۰ دقیقه اشاره دارد [۲۸].

۶- مراجع

- Park, J., and Shore, J. (2004). *Practical dyeing*, Vo. 1, Society of Dyers and Colourists, UK.

2. Chakraborty, N.J. (2010). *Fundamentals and practices in colouration of textiles*, Woodhead Pub., New delhi, India.
3. Kangwansupamonkon, W., Jitbunpot, W., and Kiatkamjornwong, S. (2010). "Photocatalytic efficiency of TiO₂/poly[acrylamide-co-(acrylic acid)] composite for textile dye degradation." *J. of Polymer Degradation and Stability*, 95, 1894-1902.
4. Karaoglu, M.H., and Ugurlu, M. (2010). "Studies on UV/NaOCl/TiO₂/Sep photocatalysed degradation of Reactive Red 195." *J. of Hazardous Materials*, 174, 864-871.
5. Chong, N.M., Jin, B., Chow, C.W., and Saint, C. (2010). "Recent developments in photocatalytic water treatment technology: A review." *J. of Water Research*, 44, 2997-3027.
6. Panbehkar, M., and Ayati, B. (2014). "Comparing the capability of NaIO₄ and NaBrO₃ oxidants on improving UV/TiO₂ photocatalytic process in removal of direct blue 71 dye." *Sharif J. of Science and Technology*, (In press). (In persian)
7. Cavicchioli, A., and Gutz, I.G.R. (2002). "Effect of Scavengers on the photocatalytic digestion of organic matter in water samples assisted by TiO₂ in suspension for the voltammetric determination of heavy metals." *J. of Braz. Chem. Soc.*, 13(4), 441-448.
8. Tan, T., Beydoun, D., and Amal, R. (2003). "Effects of organic hole scavengers on the photocatalytic reduction of selenium anions." *J. of Photochemistry and Photobiology A: Chemistry*, 159, 273-280.
9. Chen, Y., Yang, S., Wang, K., and Lou, L. (2005). "Role of primary active species and TiO₂ surface characteristic in UV-illuminated photodegradation of acid orange 7." *J. of Photochemistry and Photobiology A: Chemistry*, 172, 47-54.
10. Ni, M., Leung, H.K., Michael Leung, C.Y., Dennis, and Sumathy, K. (2007). "A review and recent developments in photocatalytic water-splitting using TiO₂ for hydrogen production." *J. of Renewable and Sustainable Energy Reviews*, 11, 401-425.
11. Rajeshwar, K., Osugi, E.M., Chanmanee, W., Chenthamarakshan, R.C., Zanoni, B.V.M., Kajitvichyanukul, P., and Krishnan-Ayer, R. (2008). "Heterogeneous photocatalytic treatment of organic dyes in air and aqueous media Review." *J. of Photochemistry and Photobiology C: Photochemistry Reviews*, 9, 171-192.
12. Syoufian, A., and Nakashima, K. (2007). "Degradation of methylene blue in aqueous dispersion of hollow titania photocatalyst: Optimization of reaction by peroxy disulfate electron scavenger." *J. of Colloid and Interface Science*, 313, 213-218.
13. Chong, M.N., Jin, B., Chow, C.K.W., and Saint, C. (2010). "Recent developments in photocatalytic water treatment technology: A review." *J. of Water Research*, 44, 2997-3027.
14. Guo, M.Y., Ng, A.M.C., Liu, F., Djurišić, A.B., and Chan, W.K. (2011). "Photocatalytic activity of metal oxides-The role of holes and OH⁻ radicals." *J. of Applied Catalysis B: Environmental*, 107, 150-157.
15. Wang, Y., and Zhang, P. (2011). "Photocatalytic decomposition of perfluorooctanoic acid (PFOA) by TiO₂ in the presence of oxalic acid." *J. of Hazardous Materials*, 192, 1869-1875.
16. Mohamed, H., Hanan, B., and Detlef W. (2012) "The role of electron transfer in photocatalysis: Fact and fictions." *J. of Applied Catalysis B: Environmental*, 12(103), 1-14.
17. Licker, D.M. (2003). *Dictionary of chemistry*, 2nd Ed., McGraw Hill, New York, USA.
18. Yuexiang, L., Gongxuan, L., and Shuben L. (2002). "Photocatalytic transformation of rhodamine B and its effect on hydrogen evolution over Pt/TiO₂ in the presence of electron donors." *J. of Photochemistry and Photobiology A: Chemistry*, 152, 219-228.
19. Kim, G., and Choi, W. (2010). "Charge-transfer surface complex of EDTA-TiO₂ and its effect on photocatalysis under visible light." *J. of Applied Catalysis B: Environmental*, 100, 77-83.

20. Reddy, K., and Chinthamreddy, S. (2003). "Sequentially enhanced electrokinetic remediation of heavy metals in low buffering clayey soils." *J. of Geotechnical and Geoenvironmental Engineering*, 129(3), 263-277.
21. Gidarakos, E., and Giannis, A. (2006). "Chelate agents enhanced electro kinetic remediation for removal cadmium and zinc by conditioning catholyte pH." *J. of Water, Air, and Soil Pollution*, 172, 295-312.
22. Chen, Y., Yang, S., Wang, K., and Lou, L. (2005). "Role of primary active species and TiO₂ surface characteristic in UV-illuminated photodegradation of acid orange 7." *J. of Photochemistry and Photobiology A: Chemistry*, 172, 47-54.
23. Sohrabi, R.M., and Ghavami, M. (2008). "Photocatalytic degradation of direct Red 23 dye using UV/TiO₂: Effect of operational parameters." *J. of Hazardous Materials*, 153, 1235-1239.
24. Ghodsian, M., Ayati, B., and Ganjidoust, H. (2013). "Determination of optimum amounts of effective parameters in reactive dyes removal using photocatalytic reactions by immobilized TiO₂ nano particles on concrete surface." *J. of Water and Wastewater*, 87, 45-53. (In Persian)
25. Panbehkar, M., and Ayati, B. (2014). "The effect of Na₂S₂O₈ oxidant on improving the efficiency of photocatalytic process of nano-TiO₂ immobilized on concrete in DB71 removal." *Iran. J. of Health and Environ.*, (In press). (In Persian)
26. Damodar, A.R., Sheng-Jie, Y., and Shang-Hsin, O. (2010). "Coupling of membrane separation with photocatalytic slurry reactor for advanced dye wastewater treatment." *J. of Separation and Purification Technology*, 76, 64-71.
27. APHA. (1999). *Standard methods for the examination of water and wastewater*, 20th Ed., American Pub. Health Association, Washington, D.C.
28. Bansal, P., and Sud, D. (2013). "Photocatalytic degradation of commercial dye, CI reactive red 35 in aqueous suspension: Degradation pathway and identification of intermediates by LC/MS." *J. of Molecular Catalysis A: Chemical*, 374/375, 66-72.
29. Tang, Z.W., Zhang, Z., An, H., Quintana, O.M., and Torres, F.D. (2010). "TiO₂/UV photodegradation of azo dyes in aqueous solutions." *J. of Environmental Technology*, 18(1), 1-12.
30. Konstantinou, K.I., and Albanis, A.T. (2004). "TiO₂-assisted photocatalytic degradation of azo dyes in aqueous solution: Kinetic and mechanistic investigations a review." *J. of Applied Catalysis B: Environmental*, 49, 1-14.